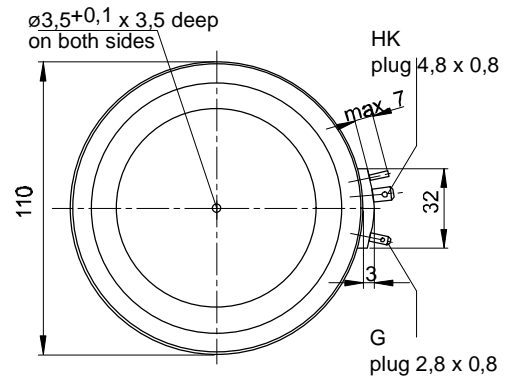
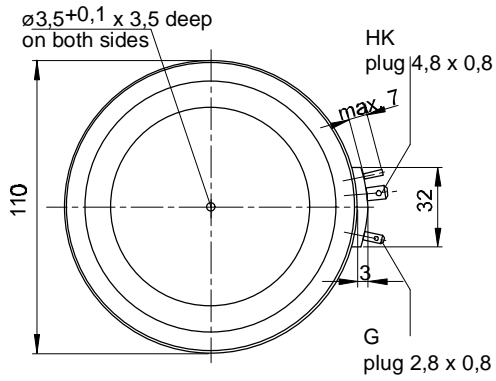
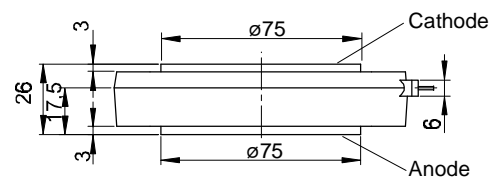
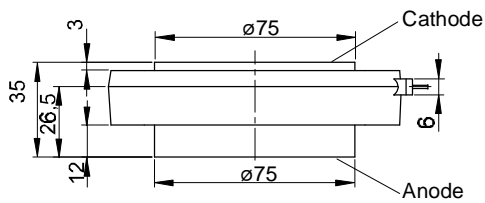




European Power-Semiconductor and Electronics Company

Marketing Information

T 2156 N / T 2159 N



T 2159 N

Elektrische Eigenschaften

Höchstzulässige Werte

Periodische Vorwärts- und Rückwärts-Schnittstromspannung

Vorwärts-Stoßspitzensperrspannung

Rückwärts-Stoßspitzensperrspannung

Durchlaßstrom-Grenzeffektivwert

Dauergrenzstrom

Stoßstrom-Grenzwert

Grenzlastintegral

Kritische Stromsteilheit

Kritische Spannungssteilheit

Charakteristische Werte

Durchlaßspannung

Schleusenspannung

Ersatzwiderstand

Zündstrom

Zündspannung

Nicht zündender Steuerstrom

Nicht zündende Steuerspannung

Haltestrom

Einraststrom

Vorwärts- und Rückwärts-Sperrstrom

Zündverzögerung

Freierdezeit

Electrical properties

Maximum rated values

repetitive peak forward off-state and reverse voltages

non-repetitive peak forward off-state voltage

non-repetitive peak reverse voltage

RMS on-state current

average on-state current

surge current

I² t-value

critical rate of rise of on-state current

critical rate of rise of off-state voltage

Characteristic values

on-state voltage

threshold voltage

slope resistance

gate trigger current

gate trigger voltage

gate non-trigger current

gate non-trigger voltage

holding current

latching current

forward off-state and reverse currents

gate controlled delay time

circuit commutated turn-off time

$t_{vj} = -40^{\circ}\text{C} \dots t_{vj\text{max}}$

$t_{vj} = -40^{\circ}\text{C} \dots t_{vj\text{max}}$

$t_{vj} = +25^{\circ}\text{C} \dots t_{vj\text{max}}$

$t_c = 85^{\circ}\text{C}$

$t_c = 64^{\circ}\text{C}$

$t_{vj} = 25^{\circ}\text{C}, t_p = 10\text{ ms}$

$t_{vj} = t_{vj\text{max}}, t_p = 10\text{ ms}$

$t_{vj} = 25^{\circ}\text{C}, t_p = 10\text{ ms}$

$t_{vj} = t_{vj\text{max}}, t_p = 10\text{ ms}$

DIN IEC 747-6, $f = 50\text{ Hz}$,

$v_L = 10\text{ V}, i_{GM} = 1,6\text{ A}, di_G/dt = 1,6\text{ A}/\mu\text{s}$

$t_{vj} = t_{vj\text{max}}, v_D = 0,67 V_{DRM}$

5.Kennbuchstabe/5th letter C

5.Kennbuchstabe/5th letter F

$t_{vj} = t_{vj\text{max}}, i_T = 8800\text{ A}$

$t_{vj} = t_{vj\text{max}}$

$t_{vj} = t_{vj\text{max}}$

$t_{vj} = 25^{\circ}\text{C}, v_D = 6\text{ V}$

$t_{vj} = 25^{\circ}\text{C}, v_D = 6\text{ V}$

$t_{vj} = t_{vj\text{max}}, v_D = 6\text{ V}$

$t_{vj} = t_{vj\text{max}}, v_D = 0,5 V_{DRM}$

$t_{vj} = t_{vj\text{max}}, v_D = 0,5 V_{DRM}$

$t_{vj} = 25^{\circ}\text{C}, v_D = 6\text{ V}, R_A = 5\ \Omega$

$t_{vj} = 25^{\circ}\text{C}, v_D = 6\text{ V}, R_{GK} \geq 10\ \Omega$

$i_{GM} = 1,6\text{ A}, di_G/dt = 1,6\text{ A}/\mu\text{s}, t_g = 20\ \mu\text{s}$

$t_{vj} = t_{vj\text{max}}, v_D = V_{DRM}, v_R = V_{RRM}$

DIN IEC 747-6, $t_{vj} = 25^{\circ}\text{C}, i_{GM} = 1,6\text{ A},$

$di_G/dt = 1,6\text{ A}/\mu\text{s}$

$t_{vj} = t_{vj\text{max}}, i_{TM} = I_{TAVM}, v_{RM} = 100\text{ V},$

$v_{DM} = 0,67 V_{DRM}, dv_D/dt = 20\text{ V}/\mu\text{s},$

$di_T/dt = 10\text{ A}/\mu\text{s}, 4.\text{Kennbuchstabe}/4\text{th}$

letter C

V_{DRM}, V_{RRM}

V_{DSM}

V_{RSM}

I_{TRMSM}

I_{TAVM}

I_{TSM}

$I^2 t$

$(di_T/dt)_{cr}$

$(dv_D/dt)_{cr}$

v_T

$V_{T(TO)}$

r_T

I_{GT}

V_{GT}

I_{GD}

V_{GD}

I_H

I_L

i_D, i_R

t_{gd}

t_q

R_{thJC}

R_{thCK}

$t_{vj\text{max}}$

$t_{c\text{op}}$

t_{stg}

F

G

Thermische Eigenschaften

Innerer Wärmewiderstand

Übergangs-Wärmewiderstand

Höchstzul.Sperrschichttemperatur

Betriebstemperatur

Lagertemperatur

Thermal properties

thermal resistance, junction to case

thermal resistance, case to heatsink

max. junction temperature

operating temperature

storage temperature

Kühlfläche/cooling surface

beidseitig/two-sided, $\Theta = 180^{\circ}\text{ sin}$

beidseitig/two-sided, DC

Kühlfläche/cooling surface

beidseitig/two-sided

einseitig/single-sided

Mechanische Eigenschaften

Si-Element mit Druckkontakt, Amplifying-Gate

Anpreßkraft

Gewicht

Kriechstrecke

Feuchteklasse

Schwingfestigkeit

Gehäuse

Si-pellet with pressure contact, amplifying gate

clamping force

weight

creepage distance

humidity classification

vibration resistance

case

DIN 40040

$f = 50\text{ Hz}$

Titelseite / front page

¹⁾ Gehäusegrenzstrom 36 kA (50Hz Sinushalbwellen). / Current limit of case 36 kA (50Hz sinusoidal half-wave).

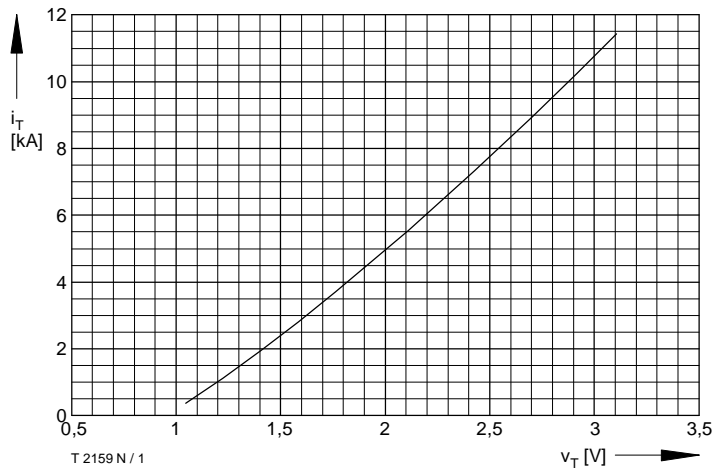


Bild / Fig. 1
Grenzdurchlaßkennlinie / Limiting on-state characteristic $i_T = f(v_T)$
 $t_{vj} = t_{vj \max}$

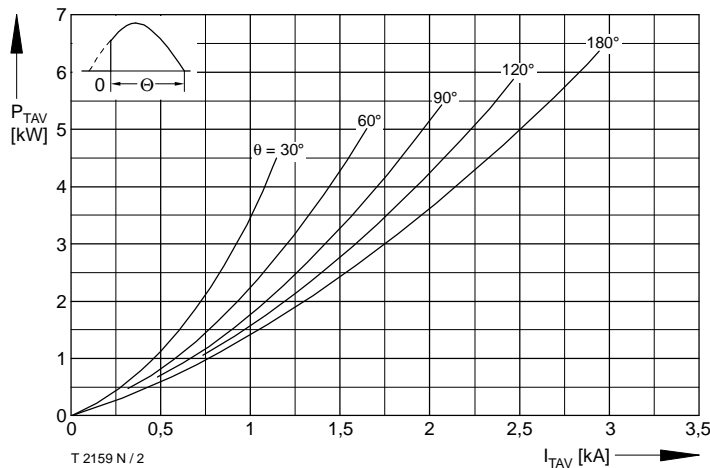


Bild / Fig. 2
Durchlaßverlustleistung / On-state power loss $P_{TAV} = f(I_{TAV})$
Parameter: Stromflußwinkel / Current conduction angle θ

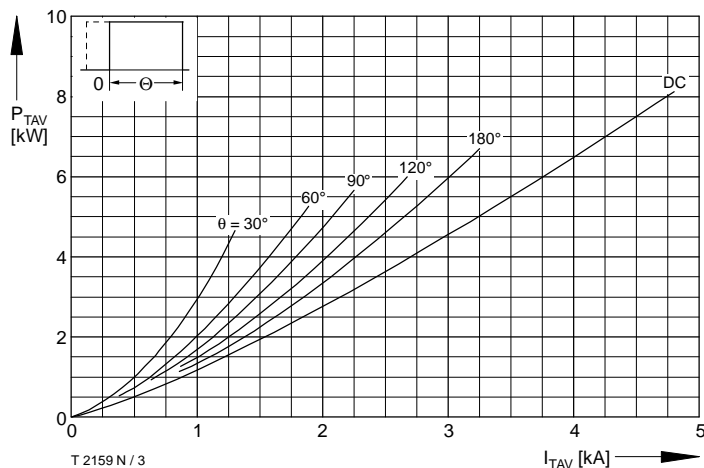


Bild / Fig. 3
Durchlaßverlustleistung / On-state power loss $P_{TAV} = f(I_{TAV})$
Parameter: Stromflußwinkel / Current conduction angle θ

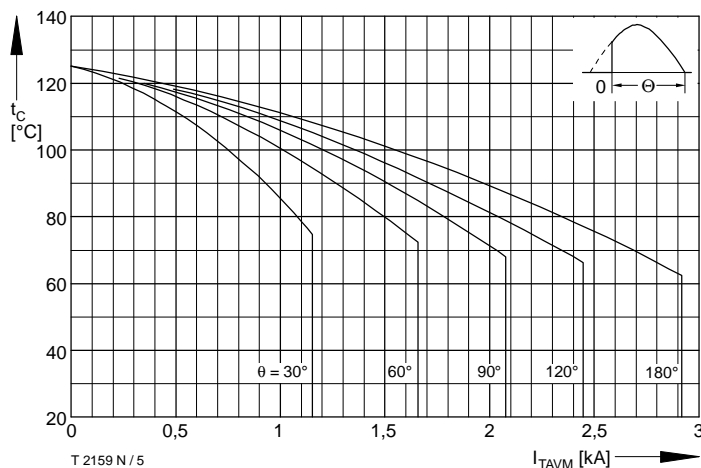


Bild / Fig. 5
Höchstzulässige Gehäusetemperatur / Maximum allowable case temperature $t_c = f(I_{TAVM})$
Beidseitige Kühlung / Two sided cooling
Parameter: Stromflußwinkel / current conduction angle θ
Berechnungsgrundlage P_{TAV} (Schaltverluste gesondert berücksichtigen) / Calculation base P_{TAV} (switching losses should be considered separately)

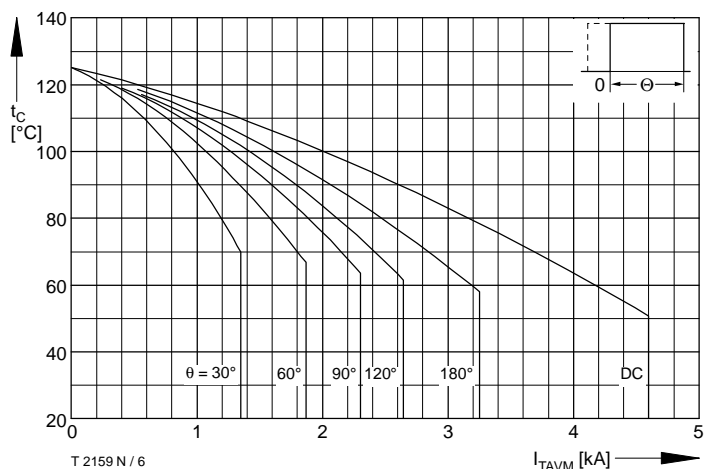


Bild / Fig. 6
Höchstzulässige Gehäusetemperatur / Maximum allowable case temperature $t_c = f(I_{TAVM})$
Beidseitige Kühlung / Two sided cooling
Parameter: Stromflußwinkel / current conduction angle θ
Berechnungsgrundlage P_{TAV} (Schaltverluste gesondert berücksichtigen) / Calculation base P_{TAV} (switching losses should be considered separately)

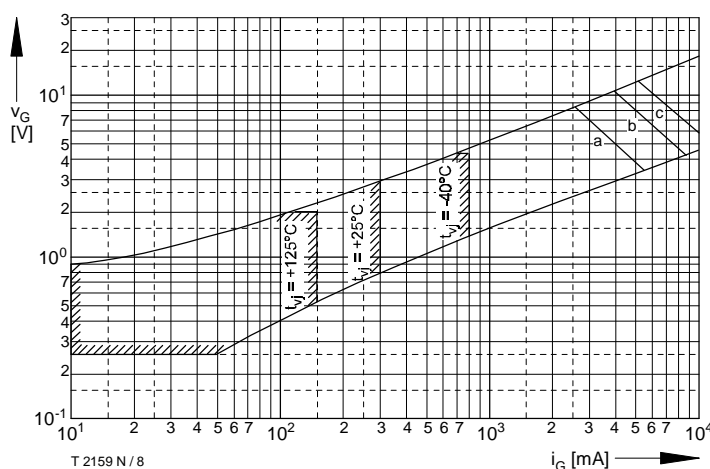


Bild / Fig. 8
Steuercharakteristik mit Zündbereichen / Gate characteristic with triggling areas $v_G = f(i_G), V_D = 6 \text{ V}$
Parameter:

	a	b	c
Steuerimpulsdauer / Puls duration t_p [ms]	10	1	0.5
Höchstzulässige Spitzensteuerleistung / Maximum allowable peak gate power [W]	20	40	60

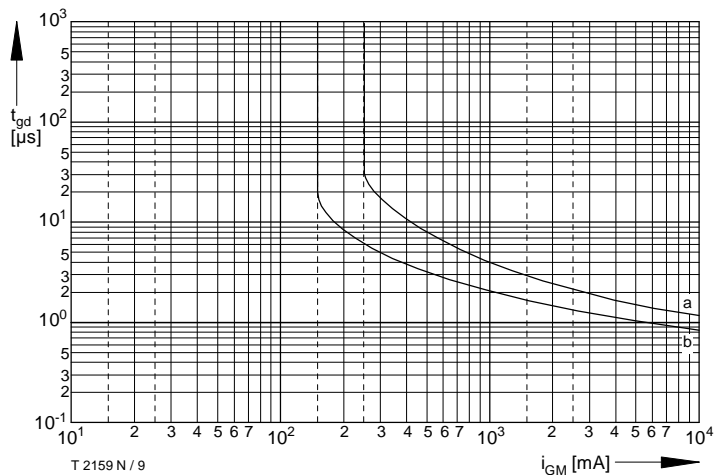


Bild / Fig. 9
 Zündverzögerung / Gate controlled delay time $t_{gd} = f(i_{GM})$; $t_{vj} = 25^\circ\text{C}$,
 $di_G/dt = i_{GM}/1\mu\text{s}$
 a - Maximaler Verlauf / Limiting characteristic
 b - Typischer Verlauf / Typical characteristic

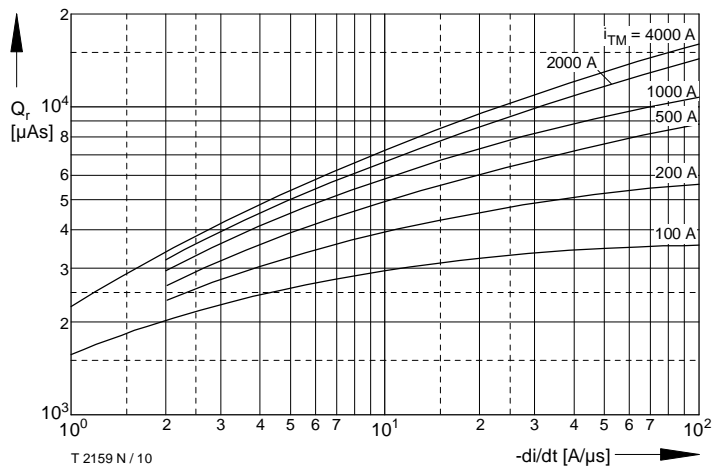


Bild / Fig. 10
 Sperrverzögerungsladung / Recovered charge $Q_r = f(di/dt)$
 $t_{vj} = t_{vj\text{ max}}$, $V_R \leq 0,5 V_{RRM}$, $V_{RM} = 0,8 V_{RRM}$
 Parameter: Durchlaßstrom / On-state current i_{TM}

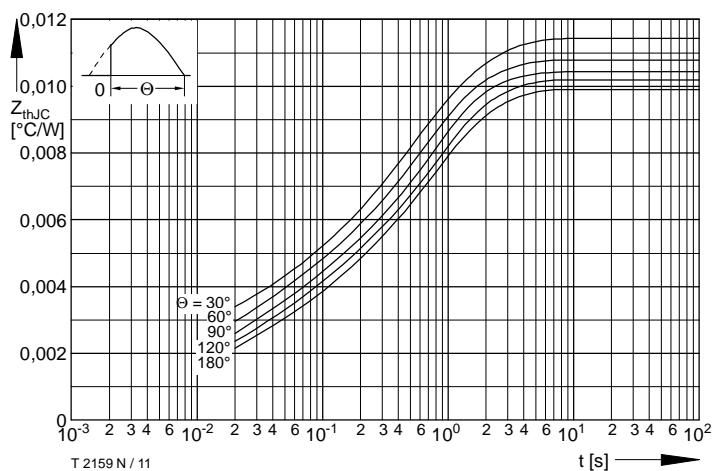


Bild / Fig. 11
 Transienter innerer Wärmewiderstand / Transient thermal impedance
 $Z_{thJC} = f(t)$
 Beidseitige Kühlung / Two-sided cooling
 Parameter: Stromflußwinkel / Current conduction angle θ

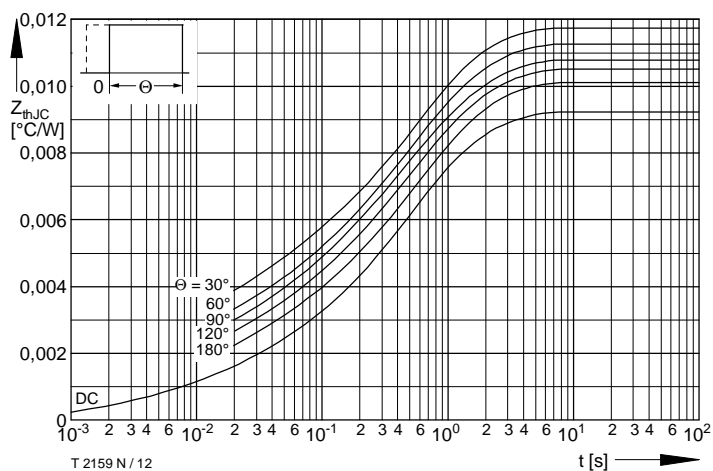


Bild / Fig. 12
 Transienter innerer Wärmewiderstand / Transient thermal impedance
 $Z_{thJC} = f(t)$
 Beidseitige Kühlung / Two-sided cooling
 Parameter: Stromflußwinkel / Current conduction angle θ

Analytische Elemente des transienten Wärmewiderstandes Z_{thJC} pro Zweig für DC
 Analytical elements of transient thermal impedance Z_{thJC} per arm for DC

Beidseitige Kühlung / Two-sided cooling

Pos. n	1	2	3	4	5	6
$R_{thn} [^\circ\text{C}/\text{W}]$	0,00003	0,00039	0,00123	0,00317	0,00438	
$\tau_n [s]$	0,000055	0,00392	0,0152	0,2068	1,0914	

Analytische Funktion / Analytical function:

$$Z_{thJC} = \sum_{n=1}^{n_{max}} R_{thn} (1 - e^{-\frac{t}{\tau_n}})$$